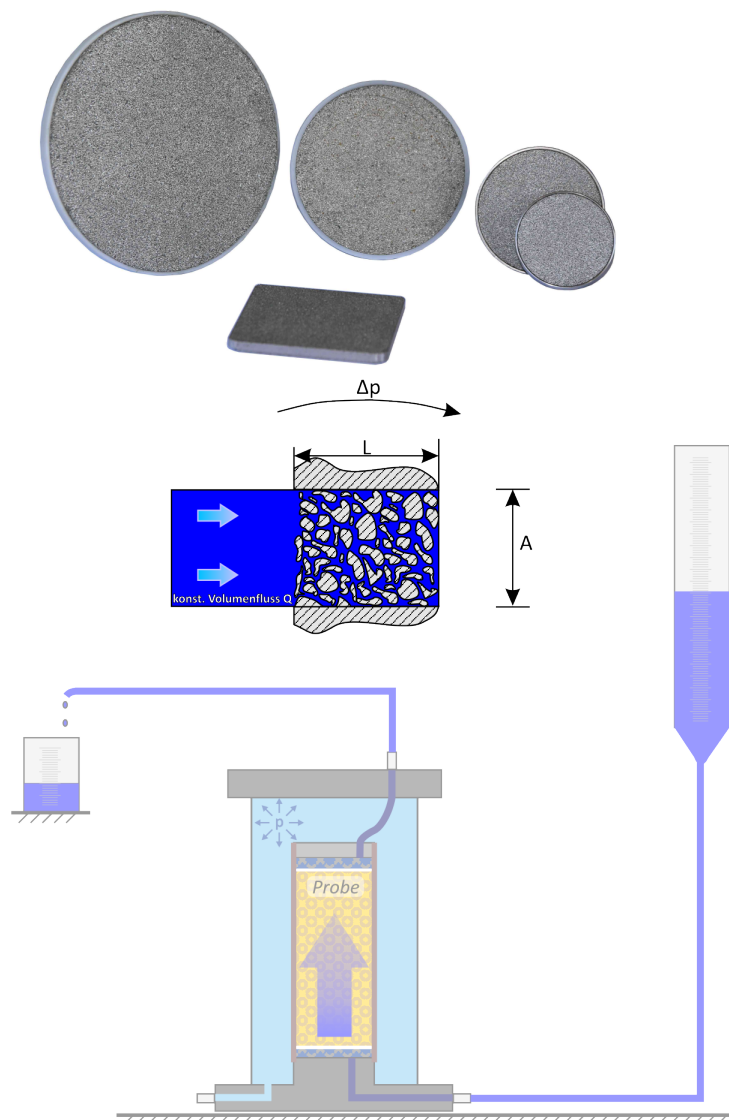


# Einfluss von Filtersteinen und Berechnung des Durchlässigkeitsbeiwertes $k_f$ in geotechnischen Versuchsanordnungen

Matthias Pamler

- 2018 -



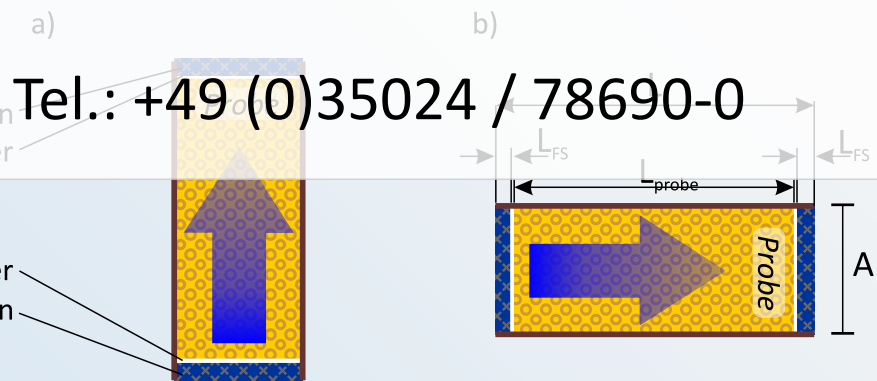
# Inhaltsverzeichnis

<b>1</b>	<b>Allgemein</b>	<b>3</b>
<b>2</b>	<b>Theoretische Zusammenhänge</b>	<b>5</b>
2.1	Allgemeine Eigenschaft von mechanischen Filterelementen . . . . .	5
2.2	Der Durchlässigkeitsbeiwert $k_f$ . . . . .	7
2.3	Ermittlung der Permeabilität $K$ bei gegebenen Poreneigenschaften . .	8
2.4	Typische Filterelemente in bodenmechanischen Laboranwendungen .	9
<b>3</b>	<b>Einfluss des Filter-Durchlässigkeitsbeiwerts <math>k_f</math> in der Labor- Versuchsanordnung</b>	<b>11</b>
<b>4</b>	<b>Versucharten im Labor</b>	<b>14</b>
4.1	Durchlässigkeitsversuch mit konstanter Füllhöhe . . . . .	14
4.2	Durchlässigkeitsversuch mit veränderlicher Füllhöhe . . . . .	15
4.2.1	Allgemein . . . . .	15
4.2.2	Herleitung der Gleichung zur Bestimmung von $k_f$ . . . . .	16
4.2.3	Praktische Ermittlung von $k_f$ bei einem Versuchsstand mit veränderlicher Höhe . . . . .	17
<b>5</b>	<b>Temperaturabhängigkeit des Durchlässigkeitsbeiwertes <math>k_f</math></b>	<b>20</b>
<b>6</b>	<b>Übersicht typischer Bereiche von Durchlässigkeitsbeiwerten <math>k_f</math> für Filter &amp; Böden</b>	<b>21</b>

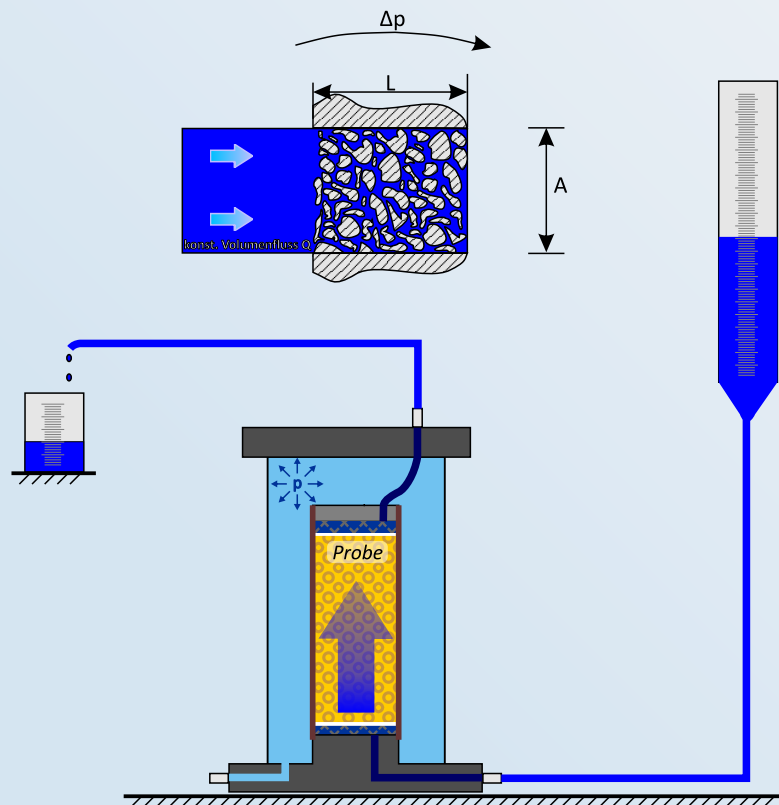
Vollständiges Dokument  
auf Anfrage erhältlich

[www.geomation.de](http://www.geomation.de)

[info@geomation.de](mailto:info@geomation.de)



Tel.: +49 (0)35024 / 78690-0



#### 4.2.2 Herleitung der Gleichung zur Bestimmung von $k_f$

Stellt man Gleichung 19 (Auf Grundlage des in Abbildung 9 gezeigten Aufbaus) nach  $Q$  um<sup>7</sup>, so erhält man den in Gleichung 20 dargestellten Zusammenhang zwischen  $Q$  und  $h$ .

$$Q = \frac{A_{Probe}}{L} \cdot k_f \cdot h \quad (20)$$

Weiterhin ist aus der Abbildung 9 zu erkennen, dass der Füllstand  $h$  vom Wasservolumen im Standrohr abhängig ist. Es gilt<sup>8</sup>  $h = \frac{V}{A_{Standrohr}}$ . Betrachtet man lediglich die Änderung der Füllstandshöhe in Abhängigkeit der Volumenänderung, so ergibt sich der in Gleichung 21 gezeigte Sachverhalt.

$$\frac{dV}{dh} = A_{Standrohr} \quad (21)$$

Der Volumenfluss  $Q$  beschreibt allgemein die Änderung des Volumens. Somit gilt:  $Q = \frac{dV}{dt}$ . Ersetzt man  $dV$  durch die in Gleichung 21 gezeigte Abhängigkeit, so ergibt sich Gleichung 22.

$$Q = A_{Standrohr} \cdot \frac{dh}{dt} \quad (22)$$

Das Wasser fließt in dieser Anordnung aus dem Standrohr durch die Probe in das Becherglas, d.h. der Volumenfluss aus dem Standrohr ist gleich dem Volumenfluss in (und durch) die Probe. Damit kann man Gleichung 20 und Gleichung 22 unter Berücksichtigung der Flussrichtung des Wassers gleichsetzen und erhält die in Gleichung 23 gezeigte Differentialgleichung.

$$\frac{A_{Probe}}{L} \cdot k_f \cdot h = -A_{Standrohr} \cdot \frac{dh}{dt} \quad (23)$$

Das negative Vorzeichen auf der rechten Seite der Gleichung 23 gibt an, dass es sich beim Standrohr um einen Volumenabfluss handelt.

Es gibt nun verschiedene Varianten diese Differentialgleichung 1. Ordnung zu lösen. In diesem Fall bietet sich die Lösung über die Trennung der (Differenziation-) Variablen an. Dazu wird Gleichung 23 so umgestellt, dass sich die Größen  $h$  und  $\Delta h$  auf einer Seite dieser Gleichung befinden<sup>9</sup>. Somit ergibt sich nach einigen Zwischenschritten die Lösung der Differentialgleichung.

$$-\frac{A_{Probe}}{A_{Standrohr} \cdot L} \cdot k_f \cdot dt = \frac{1}{h} \cdot dh \quad (24)$$

<sup>7</sup>Die „ $\Delta$ “-Symbole vor  $L$  und  $h$  wurden aus Gründen der Übersichtlichkeit nicht dargestellt, denn  $L$  beschreibt die „Länge“, also den Weg den das Wasser durch die Probe zurücklegen muss (Probenhöhe) und  $h$  bezeichnet die Füllhöhe des Standrohrs gegenüber der Auslaufhöhe der Messzelle.

<sup>8</sup>Es wird nur der Bereich des Standrohrs betrachtet, bei dem eine konstante Querschnittsfläche vorliegt.

<sup>9</sup>Die anderen Größen werden gegenübergestellt.

Der Integrale Übergang ergibt:

$$-\frac{A_{probe}}{A_{Standrohr} \cdot L} \cdot k_f \cdot \int dt = \int \frac{1}{h} \cdot dh \quad (25)$$

Die Lösung der unbestimmten Integrale ist in Gleichung 26 dargestellt:

$$-\frac{A_{probe} \cdot k_f}{A_{Standrohr} \cdot L} \cdot t = \ln(h) \quad (26)$$

Zur Vereinfachung der Darstellung wird eine neue Variable  $\tau$  verwendet, mit:

$$\tau = \frac{A_{Standrohr} \cdot L}{A_{probe} \cdot k_f} \quad (27)$$

Diese Variable  $\tau$  wird bei zeitveränderlichen Zusammenhängen dieser Art auch ZEIT-KONSTANTE genannt. Damit vereinfacht sich Gleichung 26 zu:

$$\ln(h) = -\frac{t}{\tau} \quad (28)$$

Löst man Gleichung 28 nach  $h$  auf, so erhält man den qualitativen zeitlichen Verlauf:  $h = e^{-\frac{t}{\tau}}$ . Grundlage für diese Lösung ist Gleichung 22, die jedoch nur die zeitliche Änderung der Füllhöhe im Standrohr beschreibt. Auch beim Lösen der Integrale (vgl. Gleichung 26) wurde auf die formale Konstante „c“ verzichtet. Die Anfangsbedingung (zum Zeitpunkt  $t = 0$ ) blieb dadurch bisher unberücksichtigt. Deshalb ist das Ergebnis mit der Anfangsbedingung zum Zeitpunkt  $t = 0$ , in diesem Fall mit der Füllhöhe<sup>10</sup>  $h_0$ , zu multiplizieren. Damit lässt sich der zeitlicher Verlauf der Füllhöhe mit Gleichung 29 vollständig beschreiben.

$$h(t) = h_0 \cdot e^{-\frac{t}{\tau}} \quad (29)$$

mit:

$$\begin{aligned} h(t) & \dots \text{ zeitlicher Verlauf der Füllstandshöhe im Standrohr} \\ h_0 & \dots \text{ Füllstandshöhe zum Zeitpunkt } t = 0 \\ t & \dots \text{ Zeit seit Beginn der Messung} \\ \tau & = \frac{A_{Standrohr} \cdot L}{A_{probe} \cdot k_f} \end{aligned}$$

#### 4.2.3 Praktische Ermittlung von $k_f$ bei einem Versuchsstand mit veränderlicher Höhe

Auf Grundlage von Gleichung 29 erkennt man bereits, dass es sich um eine abklingende  $e - Funktion$  handelt. Um den Durchlässigkeitsbeiwert  $k_f$  zu ermitteln, benötigt man zu verschiedenen Zeitpunkten die Füllstandshöhe. Im Idealfall reichen dafür

<sup>10</sup>Füllhöhe des Standrohrs

zwei Messpunkte aus. Es empfiehlt sich jedoch mehrere Messpunkte zu ermitteln, um die Ergebnisse zu validieren. Es gilt:

$$h(t_1) = h_0 \cdot e^{-\frac{t_1}{\tau}} \quad (30)$$

$$h(t_2) = h_0 \cdot e^{-\frac{t_2}{\tau}} \quad (31)$$

Die Division beider Gleichung ergibt Gleichung 32.

$$\frac{h(t_1)}{h(t_2)} = \frac{h_1}{h_2} = \frac{e^{-\frac{t_1}{\tau}}}{e^{-\frac{t_2}{\tau}}} \quad (32)$$

Logarithmiert man Gleichung 32 erhält man nach den gezeigten Zwischenschritten<sup>11</sup> die Gleichung zur Berechnung des Durchlässigkeitsbeiwertes  $k_f$ .

$$\ln\left(\frac{h_1}{h_2}\right) = \ln\left(\frac{e^{-\frac{t_1}{\tau}}}{e^{-\frac{t_2}{\tau}}}\right) \quad (33)$$

$$\ln\left(\frac{h_1}{h_2}\right) = \frac{t_2 - t_1}{\tau} \quad (34)$$

$$\tau = \frac{(t_2 - t_1)}{\ln\left(\frac{h_1}{h_2}\right)} \quad (35)$$

$$\frac{A_{Standrohr} \cdot L}{A_{Probe} \cdot k_f} = \frac{(t_2 - t_1)}{\ln\left(\frac{h_1}{h_2}\right)} \quad (36)$$

$$k_f = \frac{A_{Standrohr} \cdot L}{A_{Probe}} \cdot \frac{1}{t_2 - t_1} \cdot \ln\left(\frac{h_1}{h_2}\right) \quad (37)$$

mit:

- $L$  ... Probenhöhe
- $A_{Standrohr}$  ... Querschnittsfläche des Standrohrs
- $A_{Probe}$  ... Querschnittsfläche der Probe
- $t_1$  ... Zeitpunkt der ersten Messung
- $t_2$  ... Zeitpunkt der zweiten Messung
- $h_1$  ... Füllstandshöhe im Standrohr zum Zeitpunkt  $t_1$
- $h_2$  ... Füllstandshöhe im Standrohr zum Zeitpunkt  $t_2$

Eine grafische Darstellung des zeitlichen Verlaufs der Füllstandshöhe (vgl. Abbildung 10) ist immer sehr hilfreich, um die Qualität der Ergebnisse zu beurteilen. Besonders am Anfang der Messung können aufgrund von Übergangsvorgängen<sup>12</sup> die Messpunkte außerhalb der „idealen“  $e - Funktion$  liegen. Dies sollte bei der Beurteilung der Versuchsergebnisse im Zusammenhang mit dem vorliegenden Material berücksichtigt werden.

Moderne Prüfgeräte (vgl. Abbildung 11) ermöglichen die kontinuierliche Aufzeichnung des Füllstand. Damit lassen sich erste Messergebnisse bereits während der Versuchsdurchführung online darstellen und bewerten.

<sup>11</sup>Hinweise: Potenzgesetz:  $\frac{e^x}{e^y} = e^{x-y}$ ; Logarithmusgesetz:  $\ln(e^{x-y}) = x - y$

<sup>12</sup>Teilweise auch als „*Transiente*“ bezeichnet

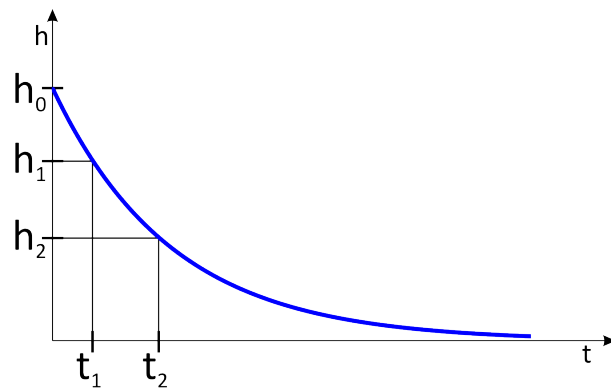


Abbildung 10: Qualitativer zeitlicher Verlauf der Füllstandshöhe



Abbildung 11: Vollelektronische Messbürette mit PC-Anschluss, kontinuierlicher Füllstandsmessung und Druckregelung. Typ: PPD.A der Firma Geomation GmbH

## 5 Temperaturabhängigkeit des Durchlässigkeitsbeiwertes $k_f$

Aufgrund der temperaturabhängigen Viskosität und Dichte des durchströmenden Mediums (Wasser), ist der Durchlässigkeitsbeiwert  $k_f$  ebenfalls temperaturabhängig. Deshalb ist bei der versuchstechnischen Bestimmung von  $k_f$  immer die Temperatur des strömenden Mediums (Wassertemperatur) zu erfassen. Diese Temperatur sollte während der gesamten Versuchszeit möglichst konstant bleiben. Mit Hilfe der Temperatur (bei der Versuchsdurchführung) ist man in der Lage, den Durchlässigkeitsbeiwert für Böden, die von Grundwasser mit einer durchschnittlichen Temperatur von  $10^\circ\text{C}$  durchströmt werden, zu berechnen. Die notwendigen Korrekturfaktoren sind oft in Form von Tabellen vorhanden, lassen sich aber auch auf Grundlage von Gleichung 8 berechnen, denn die Durchlässigkeit  $K$  ist unabhängig von der Temperatur ( $K = K_{10}$ ).

$$k_{f10} \cdot \frac{\eta_{10}}{\gamma_{w10}} = k_{fT} \cdot \frac{\eta_T}{\gamma_{wT}} \quad (38)$$

$$k_{f10} = \frac{\eta_T}{\eta_{10}} \cdot \frac{\gamma_{w10}}{\gamma_{wT}} \cdot k_{fT} \quad (39)$$

mit:

- $k_{f10}$  ... Durchlässigkeitsbeiwert bei  $10^\circ\text{C}$
- $k_{fT}$  ... Durchlässigkeitsbeiwert bei Temperatur  $T$
- $\eta_{10}$  ... Viskosität des Mediums bei  $10^\circ\text{C}$
- $\eta_T$  ... Viskosität des Mediums bei Temperatur  $T$
- $\gamma_{w10}$  ... Wichte des Mediums bei  $10^\circ\text{C}$
- $\gamma_{wT}$  ... Wichte des Mediums bei Temperatur  $T$

Die temperaturabhängige Änderung der Wichte des Wassers ist gegenüber der temperaturabhängigen Änderung der Viskosität (des Wassers) so gering, dass sie im „normalen Laborbetrieb“ vernachlässigt werden kann. Gleichung 40 beschreibt deshalb die temperaturabhängige Korrektur des Durchlässigkeitsbeiwertes hinreichend genau:

$$k_{f10} = \frac{\eta_T}{\eta_{10}} \cdot k_{fT} \quad (40)$$



## 6 Übersicht typischer Bereiche von Durchlässigkeitsbeiwerten $k_f$ für Filter & Böden

Ton	ca.	$k_f \approx 10^{-7} \dots 10^{-12} \frac{m}{s}$
Schluff	ca.	$k_f \approx 10^{-5} \dots 10^{-9} \frac{m}{s}$
Sand	ca.	$k_f \approx 10^{-3} \dots 10^{-7} \frac{m}{s}$
Kies	ca.	$k_f \approx 10^{-1} \dots 10^{-2} \frac{m}{s}$
Sintermetall	ca.	$k_f \approx 10^{-2} \dots 10^{-4} \frac{m}{s}$
Keramikfilter	ca.	$k_f \approx 10^{-2} \dots 10^{-4} \frac{m}{s}$

Die angegebenen Werte sind nur gültig, wenn die entsprechenden Materialien unverschmutzt sind. Deshalb sollten Filtersteine nach Gebrauch immer gründlich gereinigt<sup>13</sup> werden.

---

<sup>13</sup>z.B. Reinigung im Ultraschallbad